

# 电能脉冲的软件产生方法

毛晓波, 李志辉, 张震

(郑州大学 电气工程学院, 河南 郑州 450002)

**摘要:** 标准电能脉冲是电子式电能表的重要输出信号, 目前多采用电压 / 频率变换、硬件分频、复杂可编程逻辑器件(CPLD)/现场可编程门阵列器件(FPGA)或专用芯片实现, 增加了电路成本及复杂度。提出一种用软件产生标准高低电能脉冲的实用方法, 不断累计采样计算所得的瞬时功率值, 定时与规定的极限值比较, 每达到极限值即输出一个电能脉冲。给出了设计原理、软件流程及一个应用 89C51 单片机产生标准高低电能脉冲的应用实例。实践证明, 利用该方法产生的电能脉冲准确、可靠, 并能节约系统资源, 可应用于 0.1 级和 0.05 级多功能标准电能表中。

**关键词:** 电能脉冲; 校验; 交流采样

中图分类号: TN 782

文献标识码: A

文章编号: 1006-6047(2006)09-0027-03

## 0 引言

标准高低电能脉冲是电子式电能表重要的输出信号<sup>[1]</sup>。目前, 新型的电子式电能表<sup>[2]</sup>大都采用交流采样的方法, 对被测的电压、电流信号进行整周期等间隔均匀同步采样, 经模 / 数转换电路将其转换成数字量, 再将 1 个或多个周期内  $N$  个对应的数字电压信号  $u_j$  与数字电流信号  $i_j$  相乘, 累加并求平均即得功率值, 其有功和无功功率的基本算法如下<sup>[3-5]</sup>:

$$P = \frac{1}{N} \sum_{j=1}^N u_j i_j, \quad Q = \frac{1}{N} \sum_{j=1}^N u_j i_{(j+N/4)}$$

式中  $i_{(j+N/4)}$  为滞后  $u_j$   $90^\circ$  的电流值。

将求得的功率数字量转换成与之成正比的脉冲信号, 即进行有功 / 频率(或无功 / 频率)变换就可得到有功(或无功)电能脉冲, 最后再用计度器累积电能。

电能脉冲产生电路有多种实现方法, 如可以使用电压 / 频率(或电流 / 频率)变换电路或硬件分频电路, 也可以使用 ADE775X 系列单相 / 多相多功能电能测量集成电路等方便地产生脉冲<sup>[6]</sup>, 还可以使用复杂可编程逻辑器件(CPLD)/现场可编程门阵列器件(FPGA)设计超常字长累加器, 利用数字量积分 / 频率变换原理产生脉冲<sup>[7]</sup>。然而, 上述各种方法均需设计专门的硬件电路或使用专用芯片, 使电路的结构变得复杂并增加了电路成本。

本文提出一种用软件产生电能脉冲的方法。该方法用极小的程序量产生标准的高低脉冲, 硬件上仅占用 CPU 的定时器资源。

## 1 原理

设瞬时功率(有功或无功)的数字量为  $P_i$ , 对  $P_i$

的不断累加就是电能值, 当达到一个电能脉冲所代表的电能量时, 就输出一个脉冲。设要产生的标准脉冲频率为  $f_H$ , 存放  $P_i$  累加值的单元为  $\sum P$ , 程序每间隔时间  $T_c (=1/f_H)$  从测量单元读取一次当前功率值  $P_i$ , 累加入  $\sum P$  中, 并将累加后的值与规定的极限值  $P_m$  比较, 若累加值小于  $P_m$ , 不输出脉冲; 反之, 则由 CPU 的 I/O 口输出一个正脉冲, 同时从累加值单元  $\sum P$  中减掉一个  $P_m$ , 将剩余部分 ( $\sum P - P_m$ ), 即超出  $P_m$  的溢出量作为下一次的累加初值。重复此过程, 如图 1 所示(设  $P_i > 0$ )。显然, 瞬时功率  $P_i$  愈大, 则累加值达到  $P_m$  所需时间愈短, 输出脉冲频率愈高, 即脉冲频率与功率(或电能)成正比。

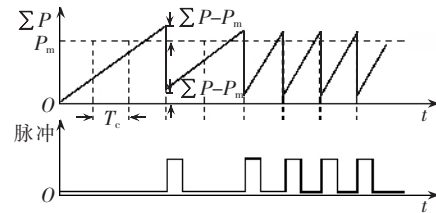


图 1 软件法产生脉冲的原理

Fig.1 Generation of electric energy pulse using software method

例如, 要产生 10 kHz 的标准电能脉冲, 则每间隔 100 μs 读一次功率值  $P_i$ 。如果取额定功率值为极限值  $P_m$ , 置  $\sum P$  初值为 0, 则当电压、电流为额定值时, 每读一个功率值  $P_i$ , 因为  $\sum P = P_m$ (剩余部分  $\sum P - P_m = 0$ ), 必然会输出一个脉冲, 于是脉冲频率为 10 kHz(额定值)。同理, 若每次读取的  $P_i$  值为额定值的 1/2, 则累计 2 次(间隔 200 μs)达到  $\sum P = P_m$ , 输出一个脉冲, 此时的输出脉冲频率为 5 kHz。当然, 若  $P_m$  不是  $P_i$  的整数倍, 则剩余部分  $\sum P - P_m \neq 0$ , 累计到下一次, 此时输出的脉冲间隔不一定均匀, 但在一段时间内(越长越好)产生的脉冲个数是准确的。由于校验电表时是累计脉冲个数, 各级标准中对电能脉冲的均匀性均未作要求, 所以不失为一种简单实用的方法。

由于  $\sum P$  单元可作双向累加和双向比较,因而该方法可产生双向有功或无功电能脉冲。

电压、电流最大取值通常为额定值的 120 %,所以推荐极限值  $P_m$  取额定功率(数字量)的 1.44 倍。

## 2 软件设计

标准功率电能表根据校验和被校验的需要,要求能够输出标准高脉冲  $f_H$  和标准低脉冲  $f_L$ 。通常  $f_H=100 \text{ kHz}$  或  $10 \text{ kHz}$ ,  $f_L=1 \text{ Hz}$ 。标准高脉冲  $f_H$  采用上述方法产生,标准低脉冲  $f_L$  则由  $f_H$  分频得到。其软件流程如图 2 所示。

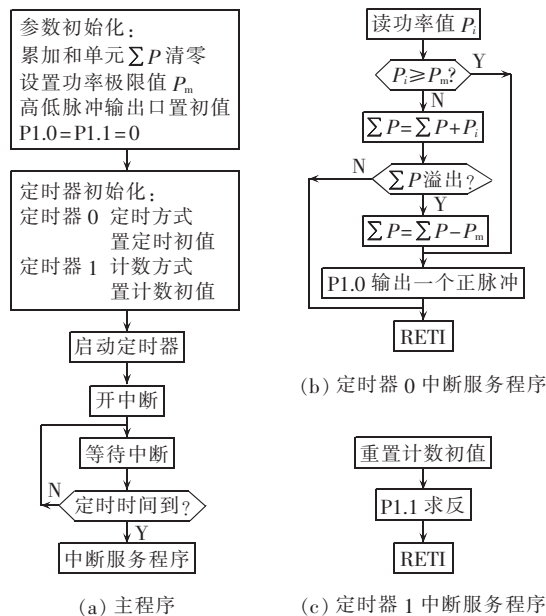


图 2 产生高低电能脉冲的软件流程

Fig.2 Flowchart of high- and low-frequency electric energy pulse generation

## 3 编程举例

采用 89C51 单片机产生  $f_H=14.4 \text{ kHz}$ 、 $f_L=1.44 \text{ Hz}$  的标准高低电能脉冲的汇编语言源程序如下,设晶振频率为  $11.0592 \text{ MHz}$ 。

```

;T0 工作于自动再装入定时方式,定时初值 n0 如下
;n0=256-11.0592÷12÷(14.4×10-3)=192=C0H
;T1 对 T0 输出的脉冲计数
;每计 5000 个使 P1.1 状态求反
;R5R4 为极限值 Pm 数字量(本例取 FFFOH)
;R3R2 为功率累加和数字量
;R1R0 为每次读取的功率值数字量 Pi
;P1.0 输出 fH,P1.1 输出 fL
ORG 0000H
LJMP MAIN          ;上电转主程序 MAIN
;T0 中断入口
ORG 000BH
LJMP T0_INT
;T1 中断服务程序
ORG 001BH
  
```

```

T1_INT:MOV TL1,#78H ;重置计数初值
        MOV TH1,#0ECH
        CPL P1.1
        RETI
;主程序
        ORG 0100H
MAIN:CLR A           ;累加值单元(ΣP)清零
        MOV R3,A
        MOV R5,#OFFH ;R5 ← Pm 数字量的高字节
        MOV R4,#0FOH ;R4 ← Pm 数字量的低字节
        CLR P1.0      ;高脉冲输出口初值置低
        CLR P1.1      ;低脉冲输出口初值置低
;T1 方式 1/计数,T0 方式 2/定时
        MOV TMOD,#52H
        MOV TL1,#78H ;计数初值 5000
        MOV TH1,#0ECH
        MOV TL0,#0COH ;定时常数 192
        MOV TH0,#0COH
        SETB TR1       ;启动 T1 计数
        SETB ET1
        SETB TR0       ;启动 T0 定时
        SETB ET0
        SETB EA
WAIT:SJMP WAIT
;T0 中断服务程序
        ORG 0200H
T0_INT:MOV DPTR,#7FFFH
        MOVX A,@DPTR ;读功率值高字节
        MOV R1,A
        MOV DPTR,#0BFFFH
        MOVX A,@DPTR ;读功率值低字节
        MOV R0,A
        CJNE R1,#0FFH,P_ADD ;与极限值比较
        CJNE R0,#0FOH,P_CONT
        SJMP TR_PL
P_CONT:JNC TR_PL
P_ADD:ADD A,R2      ;小于极限值,累加
        MOV R2,A
        MOV A,R3
        ADDC A,R1
        MOV R3,A
        JC P_SUB       ;累加后有溢出,转
        CJNE A,#0FFH,DONE
        CJNE R2,#0FOH,P_CON2
        SJMP P_SUB
P_CON2:JNC P_SUB
        SJMP DONE
P_SUB:SETB P1.0      ;P1.0 输出一个正脉冲
        CLR C          ;从累加和中减去极限值
        MOV A,R2
        SUBB A,R4
  
```

```

MOV R2,A
MOV A,R3
SUBB A,R5
MOV R3,A
NOP
CLR P1.0
RETI
;大于或等于极限值,P1.0输出一个正脉冲
TR_PL:SETB P1.0
    NOP
    NOP
    NOP
    NOP
    NOP
    NOP
    NOP
    CLR P1.0
DONE: RETI
END

```

需要指出,T0、T1 中断服务程序必须在定时间内(本例为 1 / 14.4 ms)完成。当要求产生的标准高脉冲的频率很高时,应根据此条件选用合适的 MCU 及晶振频率<sup>[8]</sup>。

## 4 结语

本文提出的标准电能脉冲的软件产生方法具有构思巧妙、编程简单、占软硬件资源少等特点,该方法在 0.1 级和 0.05 级多功能标准电能表中得以应用,产生的标准高低脉冲稳定可靠,获得了良好的效果。

## 参考文献:

- [1] 马利人. 新一代单相多表位交流电度表检定装置的原理和检定 [J]. 电测与仪表,2000,37(11):25-29.  
MA Li-ren. Principle and calibration of new type calibration equipment with multi-meter position for single-phase watt-hour meter [J]. Electrical Measurement & Instrumentation,2000,37(11):25-29.
- [2] 张有顺,冯进岗. 电能计量基础[M]. 北京:中国计量出版社,1996.

- [3] 毛晓波,赵文丽,黄俊杰. 交流采样技术及其 DSP 实现方法[J]. 微计算机信息,2005,21(2):54-55.  
MAO Xiao-bo,ZHAO Wen-li,HUANG Jun-jie. AC sampling technology and result of realizing using DSP[J]. Microcomputer Information,2005,21(2):54-55.
- [4] 毛晓波,吕建明. 电力参数的交流采样技术及软硬件设计研究 [J]. 仪器仪表学报,2001,22(4):195-198.  
MAO Xiao-bo,LÜ Jian-ming. AC sampling technology of power systems parameters and software and hardware designing methods[J]. Chinese Journal of Scientific Instrument,2001,22(4):195-198.
- [5] 李正军. 跟踪锁相技术在电力电量交流采样中的应用 [J]. 电力系统及其自动化学报,1998,10(1):11-12.  
LI Zheng-jun. Application of PLL tracking technology in electric energy AC sampling[J]. Proceedings of the EPSA,1998,10(1):11-12.
- [6] 齐保良,邹军,张运楚,等. 电度表脉冲产生电路与自适应采集 [J]. 电测与仪表,2000,37(11):34-36.  
QI Bao-liang,ZOU Jun,ZHANG Yun-chu,et al. The generation circuit and adaptive collection of pulse of watt-hour meter[J]. Electrical Measurement & Instrumentation,2000,37(11):34-36.
- [7] 江大川,富致超,程俊贤. 采样法原理电度表实现脉冲均匀化的处理方法 [J]. 电测与仪表,1999,36(12):11-13.  
JIANG Da-chuan,FU Zhi-chao,CHENG Jun-xian. Realization of pulse equality for sampling electric energy meter[J]. Electrical Measurement & Instrumentation,1999,36(12):11-13.
- [8] 邓勇,施文康. 8031 单片机测量高频信号频率的一种方法 [J]. 电测与仪表,2000,37(10):23-24.  
DENG Yong,SHI Wen-kang. A new method to measure high frequency using 8031 microcomputer[J]. Electrical Measurement & Instrumentation,2000,37(10):23-24.
- [9] 张有顺. MCS51/96 系列单片机简明教程[M]. 北京:中国计量出版社,1998.
- [10] 何立民. MCS-51 系列单片机应用系统设计[M]. 北京:北京航空航天大学出版社,1990.

(责任编辑:李育燕)

## 作者简介:



毛晓波

毛晓波(1965-),男,河南开封人,副教授,从事电子技术、智能仪器仪表的教学与科研工作(E-mail:mail-mxb@zzu.edu.cn);

李志辉(1978-),女,河南濮阳人,助教,硕士,从事数字信号处理的教学与科研工作(E-mail:lizhain@zzu.edu.cn);

张震(1966-),男,河南郑州人,副教授,从事信息与通信工程的教学与科研工作(E-mail:zhangzhen@zzu.edu.cn)。

## Using software to generate electric energy pulse

MAO Xiao-bo, LI Zhi-hui, ZHANG Zhen

(School of Electrical Engineering, Zhengzhou University, Zhengzhou 450002, China)

**Abstract:** As the important output signal of electronic energy meter, the standard electric energy pulse is usually generated by voltage/frequency converter, frequency dividing circuit, CPLD(Complex Programmable Logic Device)/FPGA(Field Programmable Gate Array) or special chips, being complicated and expensive. A software substitute is proposed. Instantaneous power values calculated from samples are accumulated continuously and compared timely with a given limit value. Electric energy pulse will be generated for every limit value. Its design principle and software as well as the program using 89C51 to generate high- and low-frequency electric energy pulses are provided. Practices prove that the method is accurate, reliable and economical, which can be used in multi-functional standard energy meters of 0.1 and 0.05 grades.

**Key words:** electric energy pulse; calibration; AC sampling